

II-98 ダムの堆砂に関する実験(補足)

日本大学理工学部 正員 粟津清蔵
日本大学工学部 正員 ○木村喜代治

ダムによる堆砂面の動的安定形状に関する研究の補足である。今回は昨年までの水路に比べて、やや大型の水路を用いて上流に形成される堆砂段丘の詳細な観測をした。また実験範囲の拡張、上流の深掘れ深さの検討その他を行なった。

今回行なった実験は表-1に記した計

8種、ダム模型は長方形の切欠きを有するV形せきである。

使用砂は0.84mm目

の篩を通過し0.25mm

目の篩に留まつたもの

で、安息角は 30° ~ 33° 、比重2.68である。実験水路は写真-1に見られるもので、幅990cm高さ0.90m(木製床により0.45m)×長さ4.5mである。動的安定状態での測定の後、堆砂段丘形状の写真撮影などのために、その形状が崩れないような排水法を考えた。写真2~4はその写真の一部である。写真の白線は等高線を表わし、その差は4cmである。法肩部は高さに關係なく白糸を置いておかず易くした。

ダムを越えた流れの式は理論的に曲線流の計算から導かれなければならぬが、上流に堆砂があり、非直線部の存在などにより、流れが非常に錯綜しているから簡便的に頂部で断面分布を仮定し、Belangerの法則から求めたものである

$$\frac{h_b}{R_{c,a}} = \frac{3}{2} C^3 - \left(\frac{b}{B}\right)^2 \frac{1 + \frac{1}{2} \cdot Fr^2}{Fr^3} \quad (1)$$

ここで Fr : 法肩上流部のフルード数。図-1に実験結果を示してある。今回の実験は b/B の値が小さいのであるが、図よりわかるように前報の実験式より $\frac{h_b}{R_{c,a}}$ の値が大きくなる。 b/B が小さくなれば損失が増え、 C の値が小さくなつて式(1)右辺第一項が大きくなり、 C を一定とする実験式と離れてくる。

図-2の h_b と l_b の關係は前回までの実験と同様に $h_b = \alpha \cdot l_b$

表-1

Runs No.	流量 l/s	切欠幅 cm	流石量 cm ³
1-I	15.5	18.0	1.78
2-I	"	14.5	"
3-I	"	11.5	"
4-I	"	9.0	"
1-II	6.0	18.0	"
2-II	"	14.5	"
3-II	"	11.5	"
4-II	"	9.0	"

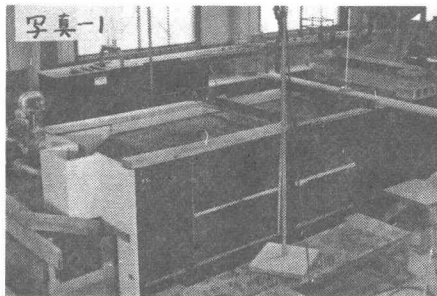


写真-2

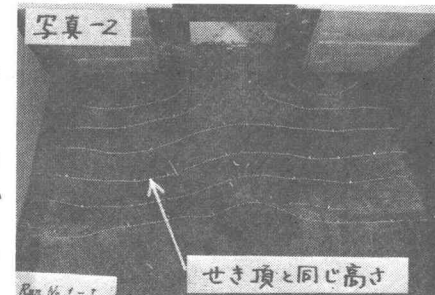


写真-3

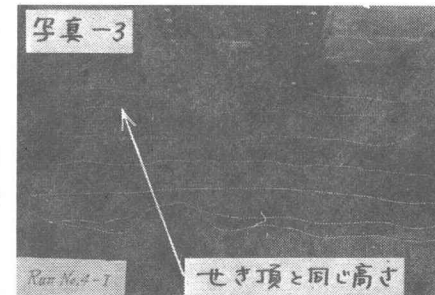
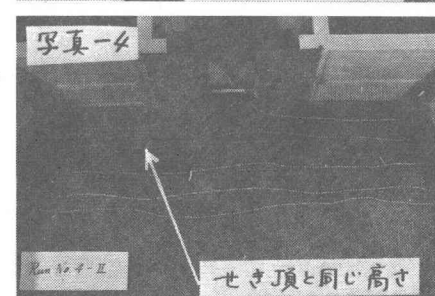
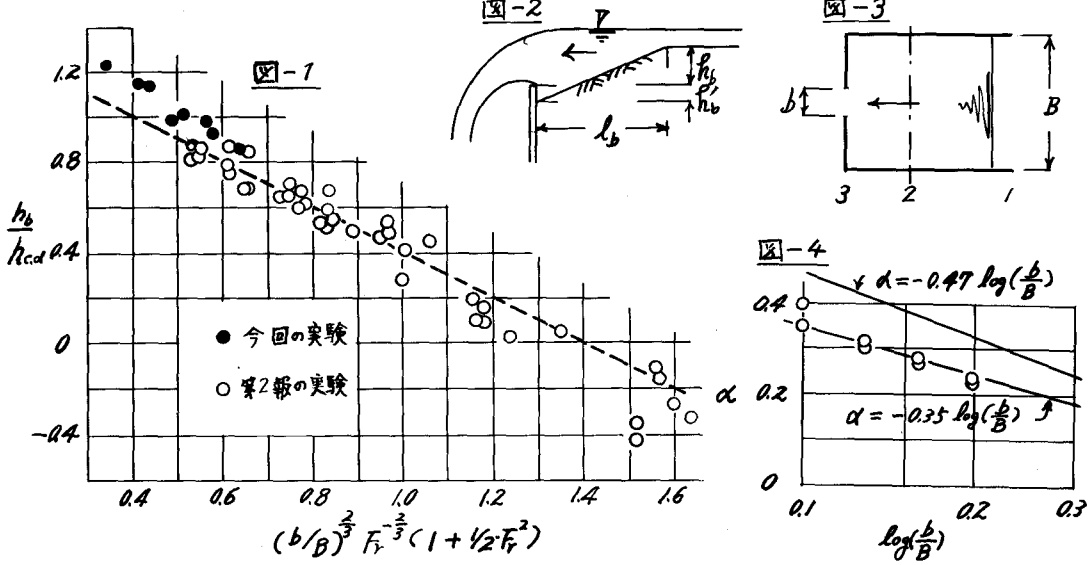


写真-4





の関係にあつた。図-4に示してあるように、今回は $\alpha = -0.35 \log(\frac{b}{B})$ と表された。 $\alpha = -\gamma \log(\frac{b}{B})$ (2) とすると γ の値は前回より小さくなっている。これは使用砂の相違によるものであるが、砂の安息角中に直接関係するものと仮定すれば $\gamma = 1.8 \tan \phi - 0.71$ (3) となる。式(2)のように α は b/B の関数であるが b/B が非常に小さくなると上記実験式では α の値が非常に大きくなる。段丘法面の勾配が、ほぼ空中における安息角と同じであることを考慮すると、これは矛盾し極限値のあることわかる。 b/B が非常に小さくなると h_b' は大きくなるから、 α の最大値はほぼ $\tan \phi$ となるものと考えられる。この実験範囲内では式(2)の関係が認められたが、 b/B が一層小さくなれば一定値の $\tan \phi$ に近づくと思われる。

流量、流砂量などを一定とし、 b/B を変化せしめたとき h_b' (図-2 参照) はどのように変化するかを調べる。 $h_b' = \tan \phi \cdot l_b - h_b$ であるから $\frac{h_b'}{h_{c,d}} = \tan \phi \cdot \frac{l_b}{h_{c,d}} - \frac{h_b}{h_{c,d}}$ (4) これと $l_b = \frac{h_b}{\alpha}$ とかく $\frac{h_b}{h_{c,d}} = (\frac{\tan \phi}{\alpha} - 1) \frac{h_b}{h_{c,d}}$ (5) となる。流量、流砂量を一定とすると Fr が一定とされるが式(5)の右辺は b/B の関数となる。また $\frac{h_b'}{(h_{c,d})_B} = \frac{h_b'}{h_{c,d}} \cdot \frac{1}{(b/B)^{2/3}}$ (6) となり $(h_{c,d})_B = (Q^2/gB^2)^{1/3}$ 。よってこれより $\frac{h_b'}{(h_{c,d})_B}$ を計算したのが図-5である。図-5より b/B に対する $\frac{h_b'}{(h_{c,d})_B}$ の極大値があることがわかる。この計算例では $b/B = 0.3$ 付近で最大となる。砂防ダムの多くの場合のように冲積層に設けられたときダム取付部にも深掘れが小さいが、この部分に保護工がなければ、堆砂した後においても、浸水時にえぐり出ることがあり得る。

この研究は文部省科学研究費(特定研究 責任者 井口昌平教授)による研究の一部である。この研究を行なうについ御配慮頂いた井口昌平教授に厚く御礼申上げます。

参考文献: 土砂調節作用に関する実験(第2報),昭和42年度講演会:ダムの堆砂に関する実験(第3報),昭和43年度講演会